

Teoria de Perturbação

Nosso objetivo aqui é definir uma teoria de perturbação apropriada para o cálculo das funções de Green. Isto será feito através de uma série de passos para que se chegue às regras formais para o cálculo dos termos de correção à função de Green não-interagindo (ou seja, para o sistema em que as interações foram "desligadas"), ordem a ordem no potencial de interação. Ao final da jornada, reaveremos todos os passos tomados até o ponto final.

(a) Representação de interação

Como é familiar da Mecânica Quântica Básica, há duas representações habituais conhecidas como a representação de Schrödinger (R_S) e a representação de Heisenberg (R_H). Vamos agora definir uma terceira representação, a representação de interação (R_I), que é, de certa forma a ser explicada mais adiante, "intermediária entre a R_S e a R_H .

Na R_S , na ausência de dependência explícita com o tempo no Hamiltoniano (essencialmente assumindo um sistema isolado: daqui por diante iremos assumir que esse é o caso), toda a dinâmica temporal está isolada na função de onda e os operadores são independentes do tempo.

O sistema é descrito por um vetor de estado

$$|\Psi_s(t)\rangle$$

que evolui no tempo segundo a eq. de Schrödinger:

$$i\partial_t |\Psi_s(t)\rangle = \hat{H} |\Psi_s(t)\rangle$$

Uma solução formal dessa equação é facilmente obtida através do operador de evolução temporal

$$|\Psi_s(t)\rangle = U(t-t_0) |\Psi_s(t_0)\rangle$$

(a dependência ~~de~~^{de} $t-t_0$ ao invés de $t+t_0$ separadamente decorre da homogeneidade temporal assumida)

Aplicando-se $i\partial_t$ à equação acima e utilizando-se a eq. de Schrödinger obtemos:

$$i\partial_t U(t-t_0) = \hat{H} U(t-t_0)$$

nb a condição inicial $U(0) = \hat{I}$. A solução formal é:

$$U(t-t_0) = e^{-i\hat{H}(t-t_0)}$$

(Lembre-se que $e^A = \sum_{n=0}^{\infty} \frac{A^n}{n!}$). Note que:

$$U^\dagger(t-t_0) = U^{-1}(t-t_0) = U(t_0-t)$$

A representação de Heisenberg é definida através de:

$$|\tilde{\Psi}_H(t)\rangle = e^{i\hat{H}t} |\tilde{\Psi}_S(t)\rangle$$

$$\hat{\Theta}_H(t) = e^{i\hat{H}t} \hat{\Theta}_S e^{-i\hat{H}t}$$

onde $\hat{\Theta}_S$ é um operador qualquer na representação de Schrödinger. Da definição acima, segue imediatamente que:

$$i\partial_t |\tilde{\Psi}_H(t)\rangle = -\hat{H} |\tilde{\Psi}_H(t)\rangle + e^{i\hat{H}t} (i\partial_t) |\tilde{\Psi}_S(t)\rangle = 0$$

$$\Rightarrow |\tilde{\Psi}_H(t)\rangle = |\tilde{\Psi}_{H(0)}\rangle \equiv |\tilde{\Psi}_H\rangle$$

O que justifica nossa afirmação anterior de que o vetor de estado é constante no tempo na RH. Para os operadores na RH obtemos:

$$i\partial_t \hat{\Theta}_H(t) = -\hat{H} \hat{\Theta}_H(t) + \hat{\Theta}_H(t) \hat{H}$$

$$= -[\hat{H}, \hat{\Theta}_H(t)] = [\hat{\Theta}_H(t), \hat{H}] = e^{i\hat{H}t} [\hat{\Theta}_S, \hat{H}] e^{-i\hat{H}t}$$

Em particular, se $\hat{\Theta}_S$ comuta com \hat{H} ele é uma constante do movimento.

A representação de interação é definida por:

$$|\Psi_I(t)\rangle = e^{i\hat{H}_0 t} |\Psi_s(t)\rangle$$

$$\hat{\Theta}_I(t) = e^{i\hat{H}_0 t} \hat{O}_s e^{-i\hat{H}_0 t}$$

Onde estamos supondo que \hat{H} pode ser escrito como a soma:

$$\hat{H} = \hat{H}_0 + \hat{H}_I$$

Onde \hat{H}_0 é usualmente um Hamiltoniano não-interageante (quadrático em operadores de criação e destruição) e \hat{H}_I é a parte de interação. Só que imediatamente que

$$i\partial_t |\Psi_I(t)\rangle = -\hat{H}_0 |\Psi_I(t)\rangle + e^{i\hat{H}_0 t} (i\partial_t) |\Psi_s(t)\rangle$$

$$= e^{i\hat{H}_0 t} [-\hat{H}_0 + \hat{H}_I] |\Psi_s(t)\rangle$$

$$= e^{i\hat{H}_0 t} \hat{H}_I e^{-i\hat{H}_0 t} |\Psi_I(t)\rangle$$

$$= \hat{H}_I(t) |\Psi_I(t)\rangle$$

(Por simplicidade, omitimos o subíndice I em $\hat{H}_I(t)$ acima. Note que a evolução temporal é determinada pela parte de interação apenas, o que dá razão ao nome representação de interação.)

Pa outro lado:

$$i\partial_t \hat{O}_I(t) = [\hat{O}_I(t), \hat{H}_0] = e^{i\hat{H}_0 t} [\hat{O}_S, \hat{H}_0] e^{-i\hat{H}_0 t}$$

e a evolução temporal dos operadores é dada por seu comutador com \hat{H}_0 , que geralmente é bem simples. A essência dessa representação consiste em jogar parte da evolução temporal do sistema nos operadores (geralmente a parte mais simples) e deixar a parte mais complicada (determinada pela interação \hat{H}_1) determinando a evolução temporal do vetor de estado.

Para ilustrar a dependência temporal simples dos operadores, considere um sistema tal que:

$$\hat{H}_0 = \sum_k \omega_k c_k^\dagger c_k$$

sejam c_k^\dagger, c_k operadores fermionicos ou bosonicos. Nesse caso:

$$i\partial_t C_{kI}(t) = e^{i\hat{H}_0 t} [C_{kI}, \hat{H}_0] e^{-i\hat{H}_0 t} \\ = \omega_k C_{kI}(t)$$

$$\Rightarrow \left\{ C_{kI}(t) = e^{-i\omega_k t} c_k \right.$$

$$\Rightarrow \left. C_{kI}^\dagger(t) = e^{i\omega_k t} c_k^\dagger \right.$$

que é bastante simples, pois consiste apenas de uma fase.

Em particular, as regras de comutação e anti-comutação serão preservadas. Mesmo para tempos diferentes elas são simples:

$$[C_{kI}(t), C_{k'I'}^+(t')] = e^{i(\omega_k t - \omega_{k'} t')} \delta_{kk'} = e^{i\omega_k(t-t')} \delta_{kk'}$$

Como qualquer operador, seja ele de 1 corpo, 2 corpos ou mais corpos, pode ser escrito como polinômios nesse operadores de criação e aniquilação, segue que também esses têm uma forma simples na RI. Basta fazer:

$$\begin{aligned} C_k &\rightarrow C_{kI}(t) \\ C_k^+ &\rightarrow C_{kI}^+(t) \end{aligned}$$

nesses operadores para se obter a RI de qualquer operador pais:

$$e^{i\hat{H}_0 t} A B C \cdots N e^{-i\hat{H}_0 t} = e^{i\hat{H}_0 t} A e^{-i\hat{H}_0 t} e^{i\hat{H}_0 t} B e^{-i\hat{H}_0 t} \cdots e^{i\hat{H}_0 t} N e^{-i\hat{H}_0 t}$$

$$= A_I(t) B_I(t) \cdots N_I(t).$$

Se agora tentarmos obter a evolução temporal ~~de~~ de $|\Psi_I(t)\rangle$ através de um operador unitário teremos:

$$|\Psi_I(t)\rangle = e^{i\hat{H}_0 t} |\Psi_s(t)\rangle = e^{i\hat{H}_0 t} U(t-t_0) |\Psi_s(t_0)\rangle$$

$$= e^{i\hat{H}_0 t} U(t-t_0) e^{-i\hat{H}_0 t_0} |\Psi_I(t_0)\rangle =$$

$$= e^{i\hat{H}_0 t} e^{-i\hat{H}_0(t-t_0)} e^{-i\hat{H}_0 t_0} |\Psi_I(t_0)\rangle = \tilde{U}(t, t_0) |\Psi_I(t_0)\rangle$$

$$\tilde{U}(t, t_0) = e^{i\hat{H}_0 t} e^{-i\hat{H}(t-t_0)} e^{-i\hat{H}_0 t_0}$$

Note, primeiramente, que:

$$\tilde{U}(t, t_0) \neq U_I(t - t_0) = e^{i\hat{H}_0 t} U(t - t_0) e^{-i\hat{H}_0 t}$$

pois o "sanduíche" é feito com operadores em tempos diferentes. Além disso, $\tilde{U}(t, t_0)$ não depende simplesmente de $t - t_0$. Entretanto:

$$(i) \tilde{U}(t_0, t_0) = 1 \quad ("Condição inicial")$$

$$(ii) \tilde{U}^{\dagger}(t, t_0) \tilde{U}(t, t_0) = \tilde{U}(t, t_0) \tilde{U}^{\dagger}(t, t_0) = 1 \Rightarrow \tilde{U}^{\dagger}(t, t_0) = \tilde{U}^{\dagger}(t, t_0) \quad (\text{Unid.})$$

$$(iii) \tilde{U}(t_3, t_2) \tilde{U}(t_2, t_1) = \tilde{U}(t_3, t_1) \quad (\text{Propriedade de grupo})$$

$$(iv) \tilde{U}^{\dagger}(t, t_0) \cancel{=} \tilde{U}(t_0, t) = \tilde{U}^{\dagger}(t, t_0)$$

que não facilmente verificadas a partir da expressão fornecida acima ou da ~~interpretacão~~ interpretação física de $\tilde{U}(t, t_0)$ como sendo o operador que leva $| \Psi_I(t_0) \rangle$ até $| \Psi_I(t) \rangle$.

O operador $\tilde{U}(t, t_0)$ satisfaz uma equação diferencial que é:

$$i\partial_t \tilde{U}(t, t_0) = H_s(t) \tilde{U}(t, t_0)$$

que é obtida da eq. dif. de $| \Psi_I(t) \rangle$ e da definição de $\tilde{U}(t, t_0)$. (ou da forma acima explícita de $\tilde{U}(t, t_0)$).

Essa equação pode ser integrada de t_0 a t para dar, usando a condição inicial $\tilde{U}(t_0, t_0) = 1$:

$$\tilde{U}(t, t_0) = 1 - i \int_{t_0}^t dt' H_1(t') \tilde{U}(t', t_0)$$

Vamos tentar resolver essa equação iterativamente como uma série perturbativa em $H_1(t)$ (essa é a origem da teoria de perturbação para a função de Green a ser desenvolvida mais adiante).

$$\begin{aligned} \tilde{U}(t, t_0) &= 1 - i \int_{t_0}^t dt_1 H_1(t_1) + (-i)^2 \int_{t_0}^t dt_1 \int_{t_0}^{t_1} dt_2 H_1(t_1) H_1(t_2) \\ &\quad + (-i)^3 \int_{t_0}^t dt_1 \int_{t_0}^{t_1} dt_2 \int_{t_0}^{t_2} dt_3 H_1(t_1) H_1(t_2) H_1(t_3) + \dots \end{aligned}$$

O termo geral da série tem a forma:

$$\tilde{U}_{(n)}(t, t_0) = (-i)^n \int_{t_0}^t dt_1 \int_{t_0}^{t_1} dt_2 \dots \int_{t_0}^{t_{n-1}} dt_n H_1(t_1) H_1(t_2) \dots H_1(t_n)$$

Nesse ponto, é importante observar duas coisas. As variáveis de integração (t_1, \dots, t_n) obedecem à:

$$t_1 \geq t_2 \geq t_3 \dots \geq t_n$$

e os operadores $H_1(t_1) \dots H_1(t_n)$, portanto, estão ORDENADAS CRONOLÓGICAMENTE. Isso é crucial, pois $H_1(t_1) \dots H_1(t_n)$ não comutam entre si.

Vamos agora manipular o termo geral para que os tempos (t_1, \dots, t_n) apareçam de forma mais simétrica. Para tal considere primeiramente $n=2$. O operador de ordenamento cronológico pode ser escrito:

$$T[H_1(t_1)H_1(t_2)] = \theta(t_1 - t_2) H_1(t_1)H_1(t_2) + \theta(t_2 - t_1) H_1(t_2)H_1(t_1)$$

onde usamos o fato de que H_1 envolve sempre um número par de operadores fermionicos. Considere agora:

$$\begin{aligned} \int_{t_0}^t dt_1 \int_{t_0}^t dt_2 T[H_1(t_1)H_1(t_2)] &= \int_{t_0}^t dt_1 \int_{t_0}^{t_1} dt_2 H_1(t_1)H_1(t_2) + \\ &+ \int_{t_0}^t dt_2 \int_{t_0}^{t_2} dt_1 H_1(t_2)H_1(t_1) = \end{aligned}$$

Como t_1, t_2 não variáveis mudas:

$$= 2 \int_{t_0}^t dt_1 \int_{t_0}^{t_1} dt_2 H_1(t_1)H_1(t_2) = \frac{2}{(-i)^2} \tilde{U}_{(2)}(t, t_0)$$

Este resultado é facilmente generalizável para o n -ésimo termo $\tilde{U}_n(t, t_0)$ notando-se que:

(i) há $(n!)$ ordenamentos possíveis para as variáveis $(t_1, \dots, t_n) \rightarrow t_{p_1} \geq t_{p_2} \geq \dots \geq t_{p_n}$

(ii) Para cada ordenamento, as variáveis de integração podem ser reorganizadas $[t_{p_1} \rightarrow t_1; t_{p_2} \rightarrow t_2; \dots; t_{p_n} \rightarrow t_n]$ para obtermos o termo geral da série $\tilde{U}_n(t, t_0)$.

Segue que:

$$\tilde{U}_{(n)}(t, t_0) = \frac{(-i)^n}{n!} \int_{t_0}^t dt_1 \int_{t_0}^{t_1} dt_2 \cdots \int_{t_0}^{t_{n-1}} dt_n T[H_1(t_1) H_1(t_2) \cdots H_1(t_n)]$$

Logo:

$$\tilde{U}(t, t_0) = \sum_{n=0}^{\infty} \frac{(-i)^n}{n!} \int_{t_0}^t dt_1 \int_{t_0}^{t_1} dt_2 \cdots \int_{t_0}^{t_n} dt_n T[H_1(t_1) \cdots H_1(t_n)]$$

Tal expressão sugere a expressão formal:

$$\tilde{U}(t, t_0) = T \exp \left\{ -i \int_{t_0}^t H_1(t') dt' \right\}$$

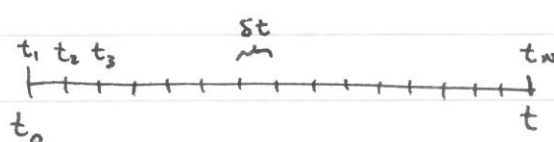
que é às vezes utilizada.

A redução iterada acima formaria a base da expansão perturbativa da função de Green, como veremos a seguir.

Note que a forma exponencial acima sugere que se escreva:

$$\tilde{U}(t, t_0) \approx e^{-i H_1(t_N) \delta t} e^{-i H_1(t_{N-1}) \delta t} \cdots e^{-i H_1(t_1) \delta t} = \prod_{i=1}^N \exp[-i H_1(t_i) \delta t]$$

onde $N \rightarrow \infty$ e t, \dots, t_N correspondem a uma partição do intervalo (t_0, t)



Essa forma discretizada é muito útil em algumas aplicações e pode ser provada mostrando-se que ela satisfaça a equação diferencial de $\tilde{U}(t, t_0)$.

Note que, embora $H_i(t_i)$ e $H_i(t_{i+1})$ não comutam

$$e^{-i\delta t H_i(t_i)} e^{-i\delta t H_i(t_{i+1})} = e^{-i\delta t [H_i(t_i) + H_i(t_{i+1})]} + O(\delta t)^2$$

que se torna irrelevante quando $N \rightarrow \infty$; $\delta t \rightarrow 0$.

A forma acima é válida para $t > t_0$

Teorema de Gell-Mann e Low

Vamos imaginar que a interação é "ligada dialetalmente":

$$H = H_0 + e^{-\eta t} H_I$$

onde η é muito pequeno. É claro que, quando $t \rightarrow \pm\infty$

$$\begin{matrix} H \xrightarrow[t \rightarrow \pm\infty]{} H_0 \end{matrix}$$

Em $t=0$, H é o Hamiltoniano interagente. Portanto, nesse caso, se $|0\rangle$ é um auto-estado de H_0 , quando $t \rightarrow -\infty$:

$$|\Psi_s(t)\rangle = e^{-iH_0 t} |0\rangle = e^{-iE_0 t} |0\rangle \quad (t \rightarrow -\infty)$$

o

$$|\Psi_i(t)\rangle = e^{iH_0 t} |\Psi_s(t)\rangle = |0\rangle \quad (t \rightarrow -\infty)$$

onde E_0 é a energia do auto-estado $|0\rangle$. Em $t=0$ o estado $|\Psi_i(t)\rangle$ caiu para um auto-estado do Hamiltoniano completo.

$$|\Psi_s(0)\rangle = \tilde{U}_n^{(0, -\infty)} |0\rangle$$

Onde $\tilde{U}_n(t_1, t_2)$ é o operador que faz a evolução dos estados na representação de interação. Para que haja evolução de um auto-estado a outro é preciso que $\eta \rightarrow 0^+$, ou seja, que a interação seja ligada muito vagamente para que ela não induza transições para misturas quânticas.

Entretanto, o limite $\eta \rightarrow 0$ é singular pois de introduz uma fase divergente no estado. Isto pode ser remediado, dividindo-se pela taxa da seguinte man-

$$\lim_{\eta \rightarrow 0^+} \frac{\langle 0 | U_n(0, -\infty) | 0 \rangle}{\langle 0 | U_n(0, -\infty) | 0 \rangle} = \frac{| \Psi_0 \rangle}{\langle 0 | \Psi_0 \rangle} \quad t.g. \quad H \left(\frac{| \Psi_0 \rangle}{\langle 0 | \Psi_0 \rangle} \right) = E \left(\frac{| \Psi_0 \rangle}{\langle 0 | \Psi_0 \rangle} \right)$$

onde $| \Psi_0 \rangle$ é o auto-estado a que $| 0 \rangle$ é levado. A igualdade acima é o resultado de um teorema, devido a Gell-Mann e Lou, que é provado perturbativamente. Igualmente:

$$\lim_{\eta \rightarrow 0^+} \frac{\langle 0 | U_n(0, +\infty) | 0 \rangle}{\langle 0 | U_n(0, +\infty) | 0 \rangle} = \frac{| \Psi'_0 \rangle}{\langle 0 | \Psi'_0 \rangle} \quad t.g. \quad H \left(\frac{| \Psi'_0 \rangle}{\langle 0 | \Psi'_0 \rangle} \right) = E \left(\frac{| \Psi'_0 \rangle}{\langle 0 | \Psi'_0 \rangle} \right)$$

Se $| \Psi'_0 \rangle$ é não-degenerado:

$$\frac{| \Psi_0 \rangle}{\langle 0 | \Psi_0 \rangle} = \frac{| \Psi'_0 \rangle}{\langle 0 | \Psi'_0 \rangle}$$

O teorema de Gell-Mann e Lou permite que escrevamos, de maneira análoga:

$$iG_{\alpha\beta}(x_1, x_2) = \frac{\langle \Phi_0 | i \left[U_n(+\infty, -\infty) \Psi_\alpha(x_1) \Psi_\beta^\dagger(x_2) \right] | \Phi_0 \rangle}{\langle \Phi_0 | U_n(+\infty, -\infty) | \Phi_0 \rangle}$$

AULA PASSADA

R.I.

$$\left\{ \begin{array}{l} |\Psi_I(t)\rangle = e^{iH_0t} |\Psi_I(t_0)\rangle \quad \text{onde } H = H_0 + H_1 \\ |\hat{O}_I(t)\rangle = e^{iH_0t} O_I e^{-iH_0t} \end{array} \right.$$

$$\Rightarrow \left\{ \begin{array}{l} i\partial_t |\Psi_I(t)\rangle = \hat{H}_{II}(t) |\Psi_I(t)\rangle \\ i\partial_t |\hat{O}_I(t)\rangle = [\hat{O}_I(t), \hat{H}_0] \end{array} \right.$$

$$\text{Se } H_0 = \sum_k \epsilon_k C_k^+ C_k \Rightarrow C_{kI}(t) = e^{-i\epsilon_k t} C_{kI}(t_0) \\ C_{kI}^+(t) = e^{+i\epsilon_k t} C_{kI}^+(t_0)$$

Op. ex. temporal

$$|\Psi_I(t)\rangle = \tilde{U}(t, t_0) |\Psi_I(t_0)\rangle$$

$$\tilde{U}(t, t_0) = e^{iH_0t} e^{-iH(t-t_0)} e^{-iH_0t_0}$$

$$\left. \begin{array}{l} \text{(i) } \tilde{U}(t_0, t_0) = I \quad (\text{Cond. inicial}) \\ \text{(ii) } \tilde{U}^+(t, t_0) \tilde{U}(t, t_0) = I \quad (\text{Unitário}) \\ \text{(iii) } \tilde{U}(t_3, t_2) \tilde{U}(t_2, t_1) = \tilde{U}(t_3, t_1) \quad (\text{Prop. de grupo}) \\ \text{(iv) } \tilde{U}^{-1}(t_1, t_2) = \tilde{U}(t_2, t_1) \end{array} \right\} \text{Prop.}$$

Eg. Def.

$$i\partial_t \tilde{U}(t, t_0) = H_I(t) \tilde{U}(t, t_0)$$

$$\Rightarrow \tilde{U}(t, t_0) = I - i \int_{t_0}^t dt' H_I(t') \tilde{U}(t', t_0) \quad \text{Eg. Integral}$$

Sol. d.

$$\Rightarrow \tilde{U}(t, t_0) = \sum_{n=0}^{\infty} (-i)^n \int_{t_0}^t dt_1 \int_{t_0}^{t_1} dt_2 \cdots \int_{t_0}^{t_{n-1}} dt_n H_I(t_1) H_I(t_2) \cdots H_I(t_n)$$

$$t > t_1 > t_2 > \cdots > t_n$$

$$|\psi_I(t)\rangle = e^{iH_0 t} |\psi_I(t_0)\rangle$$

$$|\psi_I(t)\rangle = \tilde{U}(t, t_0) |\psi_I(t_0)\rangle$$

$$i\partial_t \tilde{U}(t, t_0) = H_I(t) \tilde{U}(t, t_0) \quad H_I(t) = e^{iH_0 t} H_I e^{-iH_0 t}$$

$$\tilde{U}(t, t_0) = \sum_{n=0}^{\infty} \frac{(-i)^n}{n!} \int_{t_0}^t dt_1 \dots dt_n T[H_I(t_1) \dots H_I(t_n)]$$

$$H = H_0 + e^{-n(t)} H_I \quad n \rightarrow 0^+ \quad (\text{Ligação adiabática})$$

$$t \rightarrow -\infty \quad H = H_0 \quad |\psi_I(t)\rangle \rightarrow |0\rangle \quad H_0 |0\rangle = E_0^{(0)} |0\rangle$$

$$\text{Gell-Mann-Low: } \lim_{n \rightarrow 0^+} \frac{\tilde{U}_I(\Theta, \pm\infty) |0\rangle}{\langle 0 | \tilde{U}_I(\Theta, \pm\infty) |0\rangle} = \frac{|\psi_0\rangle}{\langle 0 | \psi_0 \rangle}$$

$$\text{t.g. } H \left(\frac{|\psi_0\rangle}{\langle 0 | \psi_0 \rangle} \right) = E \left(\frac{|\psi_0\rangle}{\langle 0 | \psi_0 \rangle} \right)$$

$$iG_{12} = \frac{\langle \Psi_0 | [\hat{\psi}_{1H} \hat{\psi}_{2H}^\dagger] | \Psi_0 \rangle}{\langle \Psi_0 | \Psi_0 \rangle} = \frac{\langle 0 | T[\tilde{U}_n(+\infty, -\infty) \psi_{1I} \psi_{2I}^\dagger] | 0 \rangle}{\langle 0 | \tilde{U}_n(+\infty, -\infty) | 0 \rangle}$$

$$\tilde{U}_n(+\infty, -\infty) = \sum_{n=0}^{\infty} \frac{(-i)^n}{n!} \int_{-\infty}^{+\infty} dt_1 \dots dt_n e^{-i[n(t_1) + \dots + n(t_n)]} T[H_I(t_1) \dots H_I(t_n)]$$

$$H_I(t) = \frac{1}{2} \sum_{\lambda \mu \sigma \rho} V_{\lambda \mu \sigma \rho} a_\lambda^\dagger(t) a_\mu^\dagger(t) a_\sigma(t) a_\rho(t)$$

(b) Relação entre $G(x, x')$ e $\tilde{U}(t, t_0)$

Vamos agora derivar a relação entre a função de Green e o operador evolução $\tilde{U}(t, t_0)$ num determinado limite. Vamos considerar que $t_1 > t_2$ em $G_{\alpha\beta}(\vec{r}_1, t_1; \vec{r}_2, t_2)$, pois a derivada para o outro caso é completamente análoga. Vamos também por simplicidade escrever: $\psi_{\alpha H}(\vec{r}_1, t_1) \rightarrow \psi_{\alpha H}(t_1)$ etc. Logo:

$$i G_{\alpha\beta}(\vec{r}_1, t_1; \vec{r}_2, t_2) = \langle \Phi_0 | \psi_{1H}(t_1) \psi_{2H}^\dagger(t_2) | \Phi_0 \rangle \quad (t_1 > t_2)$$

(supondo $\langle \Phi_0 | \Phi_0 \rangle = 1$). Consideremos agora a seguinte expressão:

$$\langle \Phi_0 | T \{ \tilde{U}(T_2, T_1) \psi_{1I}(t_1) \psi_{2I}^\dagger(t_2) \} | \Phi_0 \rangle = (*)$$

onde:

- (i) os operadores ψ, ψ^\dagger estão agora na representação de interacções
- (ii) $|\Phi_0\rangle$ é o estado fundamental de \hat{H}_0 (sistema não-interagente)
- (iii) supomos: $T_2 > t_1 > t_2 > T_1$

Ora, da propriedade de grupo dos \tilde{U} 's e da definição do operador de ordenamento temporal:

$$T[\tilde{U}(T_2, T_1) \psi_{1I}(t_1) \psi_{2I}^\dagger(t_2)] = \tilde{U}(T_2, t_1) \psi_{1I}(t_1) \tilde{U}(t_1, t_2) \psi_{2I}^\dagger(t_2) \tilde{U}(t_2, T_1)$$

(ver prova formal em F+W, p. 84)

Usando agora

$$\tilde{U}(t, t_0) = e^{iH_0 t} e^{-iH(t-t_0)} e^{-iH_0 t_0} = e^{iH_0 t} U(t-t_0) e^{-iH_0 t_0}$$

Temos:

$$(*) = \langle \Phi_0 | e^{iH_0 T_1} e^{-iH(T_1-t_1)} \psi_{1s}^{-} e^{-iH(t_1-t_2)} \psi_{2s}^{+} e^{-iH(t_2-T_2)} e^{-iH_0 T_2} | \Phi_0 \rangle$$

$$= \hat{e}^{\frac{i(E_0)}{(T_1-T_2)}} \langle \Phi_0 | e^{-iHT_1} \psi_{1H}^{-}(t_1) \psi_{2H}^{+}(t_2) e^{iHT_2} | \Phi_0 \rangle$$

onde $E_0^{(0)}$ é a energia de $|\Phi_0\rangle$ (estado fundamental de H_0)

Obviamente, uma derivacão análoga à de cima nos dá (basta omitirmos os operadores ψ_1 e ψ_2^+)

$$\langle \Phi_0 | \tilde{U}(T_1, T_2) | \Phi_0 \rangle = e^{iE_0(T_1-T_2)} \langle \Phi_0 | \hat{e}^{-iH(T_1-T_2)} | \Phi_0 \rangle$$

Portanto, a seguinte razão:

$$\frac{\langle T[\tilde{U}(T_1, T_2) \psi_{1s}^{-}(t_1) \psi_{2s}^{+}(t_2)] \rangle_0}{\langle \tilde{U}(T_1, T_2) \rangle_0} = \frac{\langle \hat{e}^{-iHT_1} \psi_{1H}^{-}(t_1) \psi_{2H}^{+}(t_2) e^{iHT_2} \rangle_0}{\langle \hat{e}^{-iH(T_1-T_2)} \rangle_0} = (\cdot)$$

onde $\langle \dots \rangle_0$ denota $\langle \Phi_0 | \dots | \Phi_0 \rangle$. Podemos agora utilizar a relação de fechamento com ^{auto-}estados de H :

$$\sum_m |\Phi_m\rangle \langle \Phi_m| = 1$$

$$(\Delta) = \underbrace{\sum_{nm} \langle \Phi_0 | \tilde{\Phi}_m \rangle \langle \tilde{\Phi}_m | \Phi_0 \rangle}_{\sum_m \langle \Phi_0 | \tilde{\Phi}_m \rangle \langle \tilde{\Phi}_m | \Phi_0 \rangle} \hat{e}^{-i(E_n)T_1} \hat{e}^{iE_m T_2} \langle \tilde{\Phi}_m | \psi_{1H}^{-}(t_1) \psi_{2H}^{+}(t_2) | \tilde{\Phi}_m \rangle$$

Tomamos agora o limite da razão acima quando:

$$\left. \begin{array}{l} T_1 \rightarrow +\infty (1-in) \\ T_2 \rightarrow -\infty (1-in) \end{array} \right\} \eta \rightarrow 0^+$$

Nesse caso: $e^{-iE_n T_1} \rightarrow e^{-iE_n T} e^{-\eta E_n T}$ onde $T \rightarrow \infty$ etc.
 Ora, os fatores η fazem com que os termos das somas decaimam exponencialmente à medida que $T \rightarrow \infty$. Para T muito grande os somas são dominadas pelos termos com menor E_n , ou seja, pelo estado fundamental $n=0$ de \hat{H} ($| \Psi_0 \rangle$). Só que que:

$$\begin{aligned} (\Delta) &= \frac{\langle \Phi_0 | \Psi_0 \rangle^2 e^{-iE_0(T_1-T_2)}}{\langle \Phi_0 | \Psi_0 \rangle^2 e^{-iE_0(T_1-T_2)}} \langle \Psi_0 | \psi_{1H}(t_1) \psi_{2H}^+(t_2) | \Psi_0 \rangle \\ &= \langle \Psi_0 | \psi_{1H}(t_1) \psi_{2H}^+(t_2) | \Psi_0 \rangle = i G_{\alpha\beta}(x_1, x_2) \end{aligned}$$

Portanto a razão acima no limite $T_1 \rightarrow +\infty (1-in)$ e $T_2 \rightarrow (1-in)(-\infty)$ pode ser usada como base de uma expansão perturbativa para $G_{\alpha\beta}(x_1, x_2)$. Note porém que é imprescindível que $\langle \Phi_0 | \Psi_0 \rangle \neq 0$ na direção acima para que a fórmula final tenha validade. Ou seja, é preciso que o estado fundamental de \hat{H}_0 não seja ortogonal ao estado fundamental de \hat{H} . Embora essa condição seja quase sempre satisfeita, há casos em que ela é inválida:

- (i) Quando $|\Psi_0\rangle$ não é perturbativamente acessível a $|\Phi_0\rangle$
 (Transição de fase entre $|\Phi_0\rangle$ e $|\Psi_0\rangle$)
- (ii) Quando $|\Psi_0\rangle$ não tem a mesma simetria que $|\Phi_0\rangle$
 (Problema Kondo, gás de elétrons em $\vec{B} \neq 0$ em que a interação com o campo é a perturbação).

Se $\langle \Phi_0 | \Phi_0 \rangle \neq 0$:

$$i G_{\alpha\beta}(x_1 x_2) = \frac{\sum_{n=0}^{\infty} \frac{(-i)^n}{n!} \int dt_1 \dots dt_n \langle \Phi_0 | T[H_1(t_1) H_2(t_2) \dots H_n(t_n)] \psi_{\alpha_1}^\dagger(t_1) \psi_{\alpha_2}^\dagger(t_2) | \Phi_0 \rangle}{\sum_{n=0}^{\infty} \frac{(-i)^n}{n!} \int dt_1 \dots dt_n \langle \Phi_0 | T[H_1(t_1) \dots H_n(t_n)] | \Phi_0 \rangle}$$

As séries acima, no denominador e no numerador, definem uma expansão perturbativa para a função de Green de um corpo. Nosso objetivo agora é calcular os elementos de matriz:

$$\langle \Phi_0 | T[H_1(t_1) \dots H_n(t_n)] \psi_{\alpha_1}^\dagger(\vec{r}_1, t_1) \psi_{\alpha_2}^\dagger(\vec{r}_2, t_2) | \Phi_0 \rangle$$

ou os correspondentes são os operadores ψ, ψ^\dagger que aparecem no denominador. Como $H_i(t_i)$:

$$H_i(t_i) = \sum_{ijke} V_{ijke} a_i^\dagger(t_i) a_j^\dagger(t_i) a_e(t_i) a_k(t_i)$$

tudo que temos que fazer é ser capazes de calcular o que como:

$$\langle \Phi_0 | T[a_{k_1}^\dagger(t_1) a_{k_2}^\dagger(t_2) \dots a_{k_{n-1}}^\dagger(t_{n-1}) a_{kn}^\dagger(t_n)] | \Phi_0 \rangle$$

Como os operadores estão na representação de interacção a dependência temporal é trivial:

$$a_{ki}(t) = e^{-i\omega_k t} a_{ki}, \text{ etc.}$$

e como $|\Phi_0\rangle$ é o estado fundamental não-interagente, nossa tarefa se resume a transportar operadores de aniquilação para a direita, usando as regras de (anti-)comutação.

Essa tarefa é feita mais econômica e compactamente por intermédio do chamado "Teorema de Wick"

(c) Teorema de Wick (TW)

Para provarmos o TW usaremos a propriedade distributiva de T :

$$T[(A+B)C] = T[AC] + T[BC]$$

Se expandirmos $\psi_{\alpha}(\vec{r})$ em uma base que diagonaliza \hat{H}_0 e provarmos o teorema nessa base, isso será portanto suficiente para a prova geral do TW. Por exemplo, para férniões livres:

$$\hat{H}_0 = \sum_k \int d^3r \psi_{\alpha}^+(\vec{r}) \left(-\frac{\nabla^2}{2m} \right) \psi_{\alpha}(\vec{r}) = \sum_{\vec{k}\alpha} \frac{\vec{k}^2}{2m} c_{\vec{k}\alpha}^+ c_{\vec{k}\alpha}$$

E expandiremos:

$$\psi_{\alpha}(\vec{r}) = \sum_{\vec{k}} \frac{e^{i\vec{k}\cdot\vec{r}}}{\sqrt{V}} c_{\vec{k}\alpha}^+$$

Nesse caso ($\omega_{\vec{k}} = \vec{k}/2m$):

$$c_{\vec{k}\alpha\pm}(t) = e^{-i\omega_{\vec{k}}t} c_{\vec{k}\alpha\pm}, \text{ etc.}$$

Vamos agora formular o TW para depois provar-lo.

Teorema de Wick ("fórmula restrita"): O valor esperado em $| \Phi \rangle$ de produtos ordenados temporalmente de operadores de criação e aniquilação na RI:

$$\langle \Phi | T[a_{k_m}^+(t_m) a_{k_{m-1}}^+(t_{m-1}) \dots a_{k_2}^+(t_2) a_{k_1}^-(t_1)] | \Phi \rangle =$$

é igual à soma dos produtos de todos os "emparelhamentos possíveis entre os operadores em questão", onde chamamos de "emparelhamento" o valor esperado em $| \Phi \rangle$ do ~~produto~~ produto ordenado temporalmente de dois operadores.

O sinal de cada termo da soma é dado pela "paridade" das transposições necessárias para se chegar ao emparelhamento dado. Por exemplo: $(i \rightarrow k_i, t_i)$

$$\begin{aligned} \langle \Phi | T[a_4^+ a_3^+ a_2^- a_1^-] | \Phi \rangle &= \langle \Phi | T[a_4^+ a_1^-] | \Phi \rangle \langle \Phi | T[a_3^+ a_2^-] | \Phi \rangle \\ &\quad - \langle \Phi | T[a_4^+ a_2^-] | \Phi \rangle \langle \Phi | T[a_3^+ a_1^-] | \Phi \rangle \\ &\quad + \langle \Phi | T[a_4^+ a_3^+] | \Phi \rangle \times \langle \Phi | T[a_2^- a_1^-] | \Phi \rangle \end{aligned}$$

Note os símbolos usados. O último termo é nulo pois é o valor esperado em $| \Phi \rangle$ de dois operadores de criação e dois de destruição. Portanto, só consideraremos emparelhamentos de operadores de criação com operadores de destruição. Além disso, só nos interessam sequências com números iguais de operadores de destruição e criação, do contrário o valor esperado é nulo.

Vamos provar o teorema por indução. Suponhamos que o teorema seja válido para $n = 2p$ operadores, sendo p operadores de criação e p operadores de destruição. Vamos então provar que ele é válido para $n+2 = 2(p+1)$ operadores. Como o teorema é trivialmente válido para 2 operadores, ele fica provado para um número n qualquer. Portanto vamos mostrar que:

$$\begin{aligned} & \langle \Phi_0 | T[a_{k_{2p+2}}^+(t_{2p+2}) a_{k_{2p+1}}^+(t_{2p+1}) \dots a_{k_{p+2}}^+(t_{p+2}) a_{k_{p+1}}^+(t_{p+1}) \dots a_{k_1}(t_1)] | \Phi_0 \rangle \\ &= \langle \Phi_0 | T[a_{k_{2p+2}}^+(t_{2p+2}) a_{k_1}(t_1)] | \Phi_0 \rangle \langle \Phi_0 | T[a_{k_{2p+1}}^+(t_{2p+1}) \dots a_{k_2}(t_2)] | \Phi_0 \rangle \\ &\quad - \langle \Phi_0 | T[a_{k_{2p+2}}^+(t_{2p+2}) a_{k_2}(t_2)] | \Phi_0 \rangle \langle \Phi_0 | T[a_{k_{2p+1}}^+(t_{2p+1}) \dots a_{k_3}(t_3) a_{k_1}(t_1)] | \Phi_0 \rangle \\ &\dots \pm \langle \Phi_0 | T[a_{k_{2p+2}}^+(t_{2p+2}) a_{k_{p+1}}^+(t_{p+1})] | \Phi_0 \rangle \langle \Phi_0 | T[a_{k_{2p+1}}^+(t_{2p+1}) \dots a_{k_p}(t_p) a_{k_{p+1}}(t_{p+1}) \dots a_{k_1}(t_1)] | \Phi_0 \rangle \end{aligned}$$

O sinal do último termo é $(+)$ se p é par e $(-)$ se p é ímpar. É evidente que, se o teorema é válido para $n = 2p$ operadores, podemos expandir os valores separados de n operadores do lado direito acima para obtermos então todos os emparelhamentos possíveis de $n+2$ operadores, o que prova o teorema para $n+2$.

Note que estabelecemos uma ordem para os operadores, ~~com~~ do lado esquerdo em que todos os operadores de criação estão à esquerda e todos os de destruição estão à direita. Isto não implica perda de generalidade já que os operadores podem ser reordenados simultaneamente dos dois lados da equação e o sinal falso.

em cada lado é o mesmo e se cancela.

Para provarmos a equação acima vamos mostrar que:

(i) ambos os lados da ~~equação~~ equações satisfazem a mesma equação de ~~dif.~~ diferencial de primeira ordem em t_{2p+2} , para quaisquer valores dos outros tempos (t_1, \dots, t_{2p+1})

(ii) ambos os lados da equação coincidem para um determinado valor de t_{2p+2} , quaisquer que sejam (t_1, \dots, t_{2p+1})

Para isso, note que:

$$a_{k_{2p+2}}^+(t_{2p+2}) = e^{i\omega_{k_{2p+2}} t_{2p+2}} a_{k_{2p+2}}^+$$

Lego: $(i\partial_{t_{2p+2}} + \omega_{k_{2p+2}}) a_{k_{2p+2}}^+(t_{2p+2}) = 0$.

Se operarmos com $(i\partial_{t_{2p+2}} + \omega_{k_{2p+2}})$ nos valores esperados da equação acima, entretanto, não obtemos zero pois o operador de ordenamento temporal impõe discontinuidades temporais em t_{2p+2} ("Funções degrau quando ele coincide com $(t_1, t_2, \dots, t_{p+1})$). Assim, por exemplo:

$$(i\partial_{t_{2p+2}} + \omega_{k_{2p+2}}) T[a_{k_{2p+2}}^+(t_{2p+2}) a_{k_1}(t_1)] =$$

$$= i \delta(t_{2p+2} - t_1) [a_{k_{2p+2}}^+(t_{2p+2}) a_{k_1}(t_1) + a_{k_1}(t_1) a_{k_{2p+2}}^+(t_{2p+2})]$$

$$= i \delta(t_{2p+2} - t_1) \{ a_{k_{2p+2}}^+, a_{k_1} \} = i \delta(t_{2p+2} - t_1) \delta_{k_1, k_{2p+2}}$$

Levando-se em conta os sinais das permutações no ordenamento temporal obtémos:

$$(i\partial_{t_{2p+2}} + \omega_{k_{2p+2}}) T [a_{k_{2p+2}}^+(t_{2p+2}) \cdots a_{k_1}(t_1)] =$$

$$= i \delta(t_{2p+2} - t_1) \delta_{k_1, k_{2p+2}} T [a_{k_{2p+1}}^+(t_{2p+1}) \cdots a_{k_2}(t_2)]$$

$$- i \delta(t_{2p+2} - t_2) \delta_{k_2, k_{2p+2}} T [a_{k_{2p+1}}^+(t_{2p+1}) \cdots a_{k_3}(t_3) a_{k_1}(t_1)] + \dots$$

$$\dots \pm i \delta(t_{2p+2} - t_{p+1}) \delta_{k_{p+1}, k_{2p+2}} T [a_{k_{2p+1}}^+(t_{2p+1}) \cdots a_{k_{p+2}}^+(t_{p+2}) a_{k_p}(t_p) \cdots a_{k_1}(t_1)]$$

Evidente que:

$$(i\partial_{t_{2p+2}} + \omega_{k_{2p+2}}) \langle \Phi | T [a_{k_{2p+2}}^+(t_{2p+2}) \cdots a_{k_1}(t_1)] | \Phi \rangle$$

$$= i \delta(t_{2p+2} - t_1) \delta_{k_1, k_{2p+2}} \langle \Phi | T [a_{k_{2p+1}}^+(t_{2p+1}) \cdots a_{k_2}(t_2)] | \Phi \rangle - \dots$$

A mesma expressão é obtida se atuarmos com $(i\partial_{t_{2p+2}} + \omega_{k_{2p+2}})$ no lado direito da equação e termos provado então o item (i).

Para provar o item (ii) considere dois casos:

(a) $k_{2p+2} < k_F$: Nesse caso, tome t_{2p+2} menor que todos os outros tempos (t_1, \dots, t_{2p+1}). Logo, quando os ordenamentos temporais são executados, o operador $a_{k_{2p+2}}^+(t_{2p+2})$ fica à direita de todos os outros e atua diretamente em $| \Phi \rangle$. Mas:

$$a_{k_{2p+2}}^+(t_{2p+2}) | \Phi \rangle = 0 \quad \text{pois } k_{2p+2} < k_F$$

Logo os dois lados coincidem identicamente para todos os $t_{2p+2} < (t_1, \dots, t_{2p+1})$ e o resultado está provado.

(b) $k_{2p+2} > k_F$: Nesse caso, procede-se de maneira inversa. Tome $t_{2p+2} > (t_1, \dots, t_{2p+1})$. Nesse caso, os ordenamentos temporais posicionam $a_{k_{2p+2}}^+(t_{2p+2})$ à esquerda de todos os outros operadores e

$$\langle \Phi | a_{k_{2p+2}}^+(t_{2p+2}) = 0 \quad \text{pois } k_{2p+2} > k_F$$

E o resultado fica provado para qualquer k_{2p+2} .

Isso conclui a prova do TW. Vale aqui uma ressalva. Nós provamos com a prova simples acima, que o teorema é válido para valores esperados no estado fundamental. Existe uma forma mais forte do teorema, que é provada em Fetter + Waleckha p. 86-92, que é uma identidade de operadores e não opera de valores esperados em $| \Phi \rangle$. Estude essa prova.

Vamos agora ver como o TW facilita o cálculo da teoria de perturbações em H_1 . Para isso note primeiro que:

$$\langle \Phi_0 | T [\psi(1) \psi^*(2)] | \Phi_0 \rangle = i G_{12}^{(0)}$$

onde voltamos para os operadores de campo, $1 \rightarrow x_1, t_1$, etc. Portanto, os "envolvidos" nada mais são que as funções de Green não-interagentes (também chamadas de contracores ou propagadoras). Note também que:

$$\langle \Phi_0 | T [\psi^*(2) \psi(1)] | \Phi_0 \rangle = -i G_{21}$$

Vamos supor agora uma interação entre pares como usual:

$$H_1(t) = \frac{1}{2} \sum_{\alpha\beta} \int d\vec{r} d\vec{r}' V(\vec{r}-\vec{r}') \psi_\alpha^*(\vec{r}_1) \psi_\beta^*(\vec{r}_2) \psi_\beta(\vec{r}_1') \psi_\alpha(\vec{r}_2')$$

Se escrevemos $V(x-x') = V(\vec{r}-\vec{r}') \delta(t-t')$ temos:

$$\int_{-\infty}^{+\infty} H_1(t) dt' = \frac{1}{2} \sum_{\alpha\beta} \int d^4x d^4x' V(x-x') \psi_\alpha^*(x) \psi_\beta^*(x') \psi_\beta(x') \psi_\alpha(x)$$

ou ainda se $\cup_{\alpha\beta}(x-x') = V(x-x')$

$$\sum_{\alpha\beta} \int d^4x \sim \int d^4x$$

$$\int_{-\infty}^{+\infty} H_1(t') dt' = \frac{1}{2} \int d^4x d^4x' \cup(x-x') \psi_\alpha^*(x) \psi_\beta^*(x') \psi_\beta(x') \psi_\alpha(x)$$

que torna a notação mais compacta, ou ainda:

$$\int_{-\infty}^{+\infty} H_1(t') dt' = \frac{1}{2} \int d^4x_1 d^4x_2 \cup_{12} \psi_1^* \psi_2^* \psi_2 \psi_1$$

Vamos calcular agora a contribuição de primeira ordem para o número da série perturbativa de iG_{12} :

$$iG_{12}^{(1)} = -\frac{i}{2} \int d^4x_3 d^4x_4 U_{34} \langle T [\psi_1^\dagger \psi_2^\dagger \psi_3^\dagger \psi_4^\dagger \psi_4 \psi_3] \rangle_0$$

As contracções possíveis são:

$$\begin{aligned} & \langle T [\psi_1^\dagger \psi_2^\dagger \psi_3^\dagger \psi_4^\dagger \psi_4 \psi_3] \rangle_0 \rightarrow \underbrace{\psi_1^\dagger \psi_2^\dagger \psi_3^\dagger \psi_4^\dagger \psi_4 \psi_3}_{+ \psi_1^\dagger \psi_2^\dagger \psi_3^\dagger \psi_4^\dagger \psi_4 \psi_3} + \underbrace{\psi_1^\dagger \psi_2^\dagger \psi_3^\dagger \psi_4^\dagger \psi_4 \psi_3}_{+ \psi_1^\dagger \psi_2^\dagger \psi_3^\dagger \psi_4^\dagger \psi_4 \psi_3} \\ & + \underbrace{\psi_1^\dagger \psi_2^\dagger \psi_3^\dagger \psi_4^\dagger \psi_4 \psi_3}_{+ \psi_1^\dagger \psi_2^\dagger \psi_3^\dagger \psi_4^\dagger \psi_4 \psi_3} + \underbrace{\psi_1^\dagger \psi_2^\dagger \psi_3^\dagger \psi_4^\dagger \psi_4 \psi_3}_{+ \psi_1^\dagger \psi_2^\dagger \psi_3^\dagger \psi_4^\dagger \psi_4 \psi_3} + \underbrace{\psi_1^\dagger \psi_2^\dagger \psi_3^\dagger \psi_4^\dagger \psi_4 \psi_3}_{+ \psi_1^\dagger \psi_2^\dagger \psi_3^\dagger \psi_4^\dagger \psi_4 \psi_3} \\ & + \underbrace{\psi_1^\dagger \psi_2^\dagger \psi_3^\dagger \psi_4^\dagger \psi_4 \psi_3}_{+ \psi_1^\dagger \psi_2^\dagger \psi_3^\dagger \psi_4^\dagger \psi_4 \psi_3} = -i G_{12}^{(0)} i G_{43}^{(0)} i G_{34}^{(0)} + i G_{12}^{(0)} i G_{33}^{(0)} i G_{44}^{(0)} \\ & + i G_{13}^{(0)} i G_{42}^{(0)} i G_{34}^{(0)} - i G_{13}^{(0)} i G_{44}^{(0)} i G_{32}^{(0)} - i G_{14}^{(0)} i G_{42}^{(0)} i G_{33}^{(0)} \\ & + i G_{14}^{(0)} i G_{43}^{(0)} i G_{32}^{(0)} \end{aligned}$$

$$\Rightarrow iG_{12}^{(1)} = +\frac{1}{2} \int d^4x_3 d^4x_4 U_{34} \left[G_{12}^{(0)} (G_{43}^{(0)} G_{34}^{(0)} - G_{33}^{(0)} G_{44}^{(0)}) \right. \\ \left. + G_{13}^{(0)} (G_{44}^{(0)} G_{32}^{(0)} - G_{42}^{(0)} G_{34}^{(0)}) + G_{14}^{(0)} (G_{42}^{(0)} G_{33}^{(0)} - G_{43}^{(0)} G_{32}^{(0)}) \right]$$

Várias observações devem ser feitas:

(i) Quando os argumentos da contracção coincidem é preciso saber como se toma o limite de variáveis temporais. Por exemplo, o terceiro termo acima contém $G_{33}^{(0)}$:

$$G_{33}^{(0)} = \begin{cases} \lim_{t_3' \rightarrow t_3^+} -i \langle T [\psi(x_3) \psi^\dagger(x_3')] \rangle_0 & ? \\ \text{ou} \\ \lim_{t_3' \rightarrow t_3^-} -i \langle T [\psi(x_3) \psi^\dagger(x_3')] \rangle_0 & ? \end{cases}$$

Uma inspeção cuidadosa da fórmula original mostra que operadores com variáveis temporais iguais provém do Hamiltoniano de interação $H_1(t)$ em que operadores de criação sempre aparecem para a esquerda do operador de destruição. Portanto, o limite

$$t'_i \rightarrow t_i^+$$

é o correto. Além disso, :

$$i G_{33}^{(0)} = -\langle \psi^+(3) \psi(3) \rangle_0 = -n^{(0)} = \text{densidade de partículas no gás ideal (independente)}$$

$G_{ii}^{(0)} = i n^{(0)}$

(ii) Note que, fazendo $x_3 = x_4$, o terceiro termo é igual ao quinto e o quarto a sexto. Isso é uma simetria presente na forma original e cancela o fator de $\frac{1}{2}$ da expressão, para os quatro últimos termos

(iii) Os dois ~~últimos~~^{primeiros} termos têm uma forma peculiar, pois o fator $G_{12}^{(0)}$ fator para fora da integração.
 * Está claro que a sua origem está na contracção interna aos $H_1(t)$ que não se mistura com as variáveis 1 e 2. Isso sempre acontecerá em todas as ordens em $H_1(t)$. Teremos mais a dizer sobre esse tipo de termos mais adiante.

Nesse ponto é útil verificarmos que as contracões acima têm uma óbvia representação gráfica. Se escrevemos

$$\begin{array}{c} \xrightarrow{\hspace{1cm}} \\ 1 \qquad 2 \end{array} \rightsquigarrow i G_{12}^{(+)}$$

$$\begin{array}{c} l \\ \nearrow \curvearrowright \\ 3 \qquad 4 \\ \curvearrowright \qquad \nearrow \\ 3 \qquad 4 \end{array} \rightsquigarrow -i U_{34}$$

podemos escrever:

$$i G_{12}^{(1)} = \left(-\frac{1}{2}\right) \begin{array}{c} 2 \\ \downarrow \\ 1 \end{array} + \begin{array}{c} \text{circle} \\ 3 \\ 4 \end{array} + \left(\frac{1}{2}\right) \begin{array}{c} 2 \\ \uparrow \\ 1 \end{array} + \begin{array}{c} \text{circle} \\ 3 \\ 4 \end{array} + \left(-\frac{1}{2}\right) \begin{array}{c} 2 \\ \downarrow \\ 1 \end{array} + \begin{array}{c} \text{circle} \\ 3 \\ 4 \end{array} + \left(-\frac{1}{2}\right) \begin{array}{c} 2 \\ \uparrow \\ 1 \end{array} + \begin{array}{c} \text{circle} \\ 3 \\ 4 \end{array}$$

$$+ \frac{1}{2} \begin{array}{c} 2 \\ \uparrow \\ 4 \\ \downarrow \\ 3 \end{array} + \frac{1}{2} \begin{array}{c} 2 \\ \uparrow \\ 3 \\ \downarrow \\ 4 \end{array}$$

A simetria $3 \leftrightarrow 4$ permite que escrevamos:

$$-\frac{1}{2} \begin{array}{c} 2 \\ \downarrow \\ 3 \\ \curvearrowright \\ 4 \\ \downarrow \\ 1 \end{array} - \frac{1}{2} \begin{array}{c} 2 \\ \downarrow \\ 4 \\ \curvearrowright \\ 3 \\ \downarrow \\ 1 \end{array} = - \begin{array}{c} 2 \\ \downarrow \\ 1 \\ \curvearrowright \\ 2 \end{array}$$

$$\begin{array}{c} 2 \\ \downarrow \\ \frac{1}{2} \\ 3 \\ \curvearrowright \\ 4 \\ \downarrow \\ 1 \end{array} + \begin{array}{c} 2 \\ \downarrow \\ \frac{1}{2} \\ 4 \\ \curvearrowright \\ 3 \\ \downarrow \\ 1 \end{array} = \begin{array}{c} 2 \\ \downarrow \\ 1 \end{array}$$

O mesmo não pode ser feito com os 2 primeiros diagramas.

Os sinais de $(-)$ acima aparecem apenas nos diagramas com circuitos fechados de linhas de propagadores eletromagnéticos ("loops"). Esse é um caso particular de uma regra geral. Um fator de (-1) deve ser introduzido para cada circuito fechado de propagadores de FÉRMIONS do diagrama (veja prova mais adiante).

Voltando agora aos dois primeiros diagramas, que chamaremos de "desconectados", por terem ~~uma~~ pedaço não conectados à linha principal de $1 \rightarrow 2$, afirmamos que eles fazem parte de um conjunto mais geral, que aparece em ordens superiores. Podemos fatorar a expansão acima em:

$$iG_{12} = \left[\uparrow + \overbrace{\text{mo}} + \overbrace{\text{}} + \overbrace{\text{O}} + \overbrace{\text{}} + \dots \right] \times \\ \times \left[\text{V} + \text{O} + \text{O} + \text{X} + \dots \right]$$

Pode-se provar facilmente (F+W, p. 95-96) que o termo entre o segundo par de colchetes acima, cancela exatamente o denominador da fórmula geral de iG_{12} derivada antes. Segue que a expansão perturbativa de iG_{12} envolve apenas diagramas CONECTADOS, os desconectados sendo cancelados pelo termo $\langle \Phi | \tilde{U}(+\infty, -\infty) | \Phi \rangle$. Daqui em diante, falaremos apenas de **6** diagramas conectados para iG_{12} .

Só resta mais uma característica dos diagramas para que possamos estabelecer todas as regras de sua construção. Ela só aparece em ordens superiores e diz respeito ao fator $\left(\frac{1}{n!}\right)$ da expansão de iG_{12} .

Note primeiro que o fator $\frac{1}{n!}$ aparece sempre

associado a \underline{m} linhas de interação \underline{U} (ou $H_1(t)$). Cada linha \underline{U} tem associada a ela um par de coordenadas (3e4 no exemplo acima de primeira ordem). Haverá portanto uma série de diagramas, cujos pares de índices de \underline{U} são permutações distintas mas que são idênticos em todos os outros aspectos, que contribuirão o mesmo valor para iG_{12} , POIS OS PARES DE ÍNDICES NÃO VARIÁVEIS MUPAS DE INTEGRAÇÃO. Há $(n!)$ permutações possíveis de \underline{m} pares de índices. Isso cancela o fator $(n!)$ e não é preciso incluir todos esses diagramas idênticos.

Podemos agora enumerar as regras para construção dos diagramas de Feynman ~~de ordem~~ \underline{m} :

(i) Desenhe todos os diagramas topologicamente distintos com \underline{m} linhas de interação e com início em 1 e final em 2. Associe um rótulo qualquer (3, 4, ...) a cada vértice.

(ii) A cada linha de i a j associe $iG_{ij}^{(o)}$ e a cada linha de interação ~~de~~ associe $-iU_{\mu e}$.

(iii) Some (intege) sobre todos os rótulos que não 1 ou Para o exemplo de interações acima, o spin é conservado

ao longo de uma linha contínua.

(iv) Multiplique cada diagrama por $(-1)^F$ onde F é o número de circuitos fechados FERMIÔNICOS

(v) A cada função de Green com índices temporais faca $i G^0(x, x^0) \Rightarrow i G_{\alpha\beta}^0(\tilde{x}t, \tilde{x}'t')$

Como afirmado anteriormente a regra (iv) acima é geral. Ela provém da seguinte constatação. Um circuito fechado fermiônico provém da série de contracções de operadores da forma:

$$\psi_1^+ \psi_1^- \overbrace{\psi_2^+ \psi_2^- \dots \overbrace{\psi_k^+ \psi_k^-}}$$

pois eles provém dos $H_i(t)$'s. Todas as contracções internas (entre ψ_1^+ e ψ_k^-) acima contribuem.

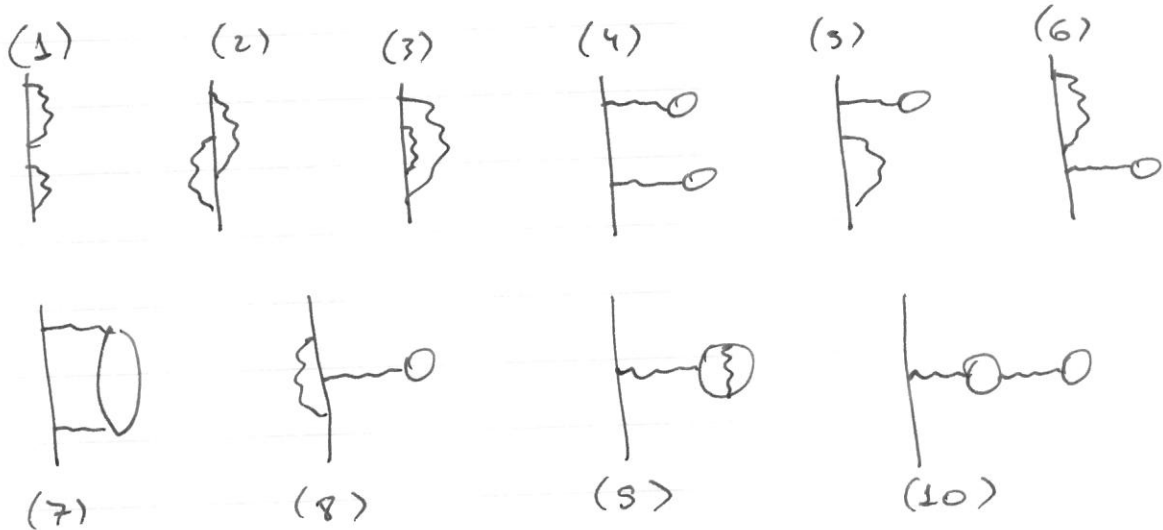
$$i G_{12}^{(o)} i G_{23}^{(o)} \dots i G_{k-1 k}^{(o)}$$

enquanto que a última contracção (entre ψ_1^+ e ψ_k^-) nos dá:

$$-i G_{1k}^{(o)}$$

Dá o sinal de menos.

Como exemplo das regras acima, vejamos os diagramas de segunda ordem:



Os diagramas (4) e (10) têm dois circuitos fechados (fator $(-1)^2$) e os diagramas (5), (6), (7), (8) e (9) têm um (fator (-1)). Todos os elementos da forma:



envolvem $iG^{(0)}$'s com mesmo índice temporal. Note que (5) e (6) não são considerados topologicamente distintos pois a posição relativa dos elementos com relação a 1 e 2 é diferente.

Para sistemas homogêneos é muito mais fácil trabalhar no espaço (\vec{k}, ω) . Para isso, note que:

$$G(x) = \int G(p) e^{-ipx} \frac{d^4 p}{(2\pi)^4}; \quad G(p) = \int d^4 x G(x) e^{ipx}$$

$$G^{(o)}(x) = \int G^{(o)}(p) e^{-ipx} \frac{d^4 p}{(2\pi)^4}; \quad G^{(o)}(p) = \int d^4 x G^{(o)}(x) e^{ipx}$$

onde estamos usando "notação covariance" ($d^4 p = d^3 k dk dt$) e $PX = \omega t - \vec{k} \cdot \vec{x}$. Além disso:

$$U(x) = \delta(t) V(\vec{n}) = \int U(\vec{q}) e^{-i\vec{q} \cdot \vec{x}} \frac{d^4 q}{(2\pi)^4}$$

e:

$$U(q) = U(\vec{q}) = \int V(\vec{n}) e^{i\vec{q} \cdot \vec{n}} d^3 n$$

Calculemos, p. ex. o termo:



$$i G_{\vec{q}_2}^{(Ex)} = - \int d^4 x_3 d^4 x_4 \underbrace{\int d^4 q d^4 k d^4 p d^4 p'}_{(2\pi)^{16}} e^{-iq(x_3-x_4)} e^{-ik(x_3-x_1)} e^{-ip(x_4-x_3)} e^{-iwp(t_4-t_3)} e^{-iwp(t_4-t_3)} e^{-iwp(t_4-t_3)} e^{-iwp(t_4-t_3)}$$

$$e^{-ip'(x_2-x_4)} U(q) G^{(o)}(k) G^{(o)}(p) G^{(o)}(p') \delta_{x_1, x_2}$$

$$= - \int \underbrace{d^4 q d^4 k d^4 p d^4 p'}_{(2\pi)^{16}} (2\pi)^4 \delta^{(4)}(p-q-k) (2\pi)^4 \delta^{(4)}(p-q-p') U(q) G^{(o)}(k) G^{(o)}(p) G^{(o)}(p') e^{ikx_1} e^{-ip(x_2)} \delta_{x_1, x_2}$$

$$= - \int \frac{d^4 k}{(2\pi)^4} \frac{d^4 p}{(2\pi)^4} e^{ik(x_1-x_2)} U(p-k) G^{(o)}(k) G^{(o)}(p) G^{(o)}(k) \delta_{x_1, x_2}$$

Onde o fator $\delta_{\lambda_1 \lambda_2}$ diz respeito aos índices de spin de $\underline{1}$ e $\underline{2}$. Da definição:

$$i G^{(Ex)}(\mathbf{k}) = - \int \frac{d^4 p}{(2\pi)^4} V(p-\mathbf{k}) G^{(o)}(p) [G^{(o)}(\mathbf{k})]^2$$

Desse exemplo é possível obter a generalização para outros termos. Em cada vértice tom-se:



sendo que $e^{-iq_3 x}$ e $e^{iq_1 x}$ vêm das duas fundas de Green e $e^{-iq_3 x}$ vêm da linha de interação. A variável x é muda e deve ser integrada, gerando:

$$(2\pi)^4 \delta^{(4)}(q_1 + q_3 - q)$$

ou seja, o quadri-momento é conservado em cada vértice. Para isso, é importante associar a seta a $V(q)$ pois a interação q transfere momento q de uma ponta de um à outra.

Uma vez integradas todas as variações não só restam os pontos externos e temos:

que é o fator que aparece na definição de $G(\mathbf{k})$ a partir de G_{12} .

As regras dos diagramas agora ficam

- (i) Desenhe todos os diagramas conectados topologicamente distintos com u linhas de interação.
- (ii) Associe momentos a cada linha de interação (direcionada) e a cada propagador, conservando momento nos vértices.
- (iii) Associe $iG^{(0)}(\vec{r})$ às linhas contínuas e $-iV(q)$ às linhas de interação. Some sobre os momentos internos e índices de spin internos. ($\int d^4q/(2\pi)^4$)
- (iv) ~~Multiplique por~~ Multiplique por $(-1)^F$ como antes
- (v) A cada propagador proveniente de índices tempos raios iguais multiplique por:

$$e^{iwn} \quad n \rightarrow 0^+$$

Essa última regra vem de:

$$G^{(0)}(\vec{x}t; \vec{x}'t') = \int \frac{d^3k}{(2\pi)^3} \int dw e^{i\vec{k} \cdot (\vec{x}-\vec{x}')} G^{(0)}(\vec{k}, w) \underbrace{e^{-iw(t-t')}}_{e^{iwn} \quad n \rightarrow 0}$$

Vamos escrever agora a função de Green em primeira ordem no espaço (\vec{k}, ω) .

$$iG_{\alpha\beta}^{(+)}\vec{(\vec{k}, \omega)} = \frac{1}{(2\pi)^3} \int d^3q d\omega' \left[G^{(0)}(\vec{k}, \omega) V(\vec{q}) G^{(0)}(\vec{q}, \omega') e^{i\vec{q} \cdot (\vec{k} - \vec{q})} e^{i(\omega - \omega') n} \right] + \text{Diagrama}$$

Onde retornamos à notação trivectorial para maior clareza.

$$iG_{\alpha\beta}^{(+)}\vec{(\vec{k}, \omega)} = \delta_{\alpha\beta} iG^{(+)}\vec{(\vec{k}, \omega)}$$

$$iG^{(+)}\vec{(\vec{k}, \omega)} = (-i) \underbrace{\frac{d^3q d\omega'}{(2\pi)^4}}_{[i \times i \times i \times (-i)]} \left[-[G^{(0)}(\vec{k}, \omega)]^2 V(0) G^{(0)}(\vec{q}, \omega') e^{i\omega' n} + [G^{(0)}(\vec{k}, \omega)]^2 V(-\vec{q}) G^{(0)}(\vec{k} - \vec{q}, \omega - \omega') e^{i(\omega - \omega') n} \right]$$

$$= [G^{(0)}(\vec{k}, \omega)]^2 \left\{ + \underbrace{V(0) \int \frac{d^4q}{(2\pi)^4} G^{(0)}(q) e^{i\omega n}}_{i m} \right. \\ \left. - \int \frac{d^3q d\omega'}{(2\pi)^4} V(\vec{q}) G^{(0)}(\vec{k} - \vec{q}, \omega - \omega') e^{i(\omega - \omega') n} \right\}$$

Note que, no caso do gás uniforme de elétrons, o efeito do "background" positivo foi de cancelar exatamente os termos de transparéncia de momento nulo ($V(\vec{q} = \vec{0})$). Portanto, o primeiro termo acima não está presente neste caso.

Poderemos fazer a soma sobre freqüências do segundo termo acima. Fazendo primeiro:

$$\vec{q} \rightarrow \vec{k} - \vec{q}$$

$$\omega' \rightarrow \omega - \omega'$$

$$\sim \int \frac{d^3 q}{(2\pi)^3} V(\vec{q}) \underbrace{\int \frac{d\omega'}{(2\pi)} e^{i\omega' n} G^{(0)}(\vec{q}, \omega')}_{I}$$

$$I = \int_{-\infty}^{+\infty} \frac{d\omega'}{(2\pi)} e^{i\omega' n} \left[\frac{\Theta(k_F - q)}{\omega' - \epsilon_q - i\eta} + \frac{\Theta(q - k_F)}{\omega' - \epsilon_q + i\eta} \right]$$

Usando o lema de Jordan, podemos escrever:

$$\int_{-\infty}^{+\infty} = \int_{\text{C}} - \int_{\text{C}}$$

Onde os contorno esquematizados acima correspondem a fechar as curvas no semi-plano superior do plano complexo ($\operatorname{Re} \omega'$, $\operatorname{Im} \omega'$), pois o fator $e^{i\omega' n}$ (ou melhor, sua continuação analítica) só nos dá uma contribuição exponencialmente pequena no semi-plano superior ($\operatorname{Im} \omega' > 0$). Calculando a integral em C pelo método dos resíduos, o segundo termo acima dá contribuição nula e o primeiro dá:

$$I = 2\pi i \operatorname{Res} \left[\frac{\Theta(k_F - q)/2\pi}{\omega' - \epsilon_q - i\eta} \right] = i \Theta(k_F - q)$$

$$\Rightarrow i G^{(1)}(\vec{k}, \omega) = [G^{(0)}(\vec{k}, \omega)]^2 \times \left\{ i m V(\vec{0}) - i \frac{\int d^3 q}{(2\pi)^3} V(\vec{k} - \vec{q}) \theta(k_F - q) \right\}$$

Notamos acima que a estrutura de $G^{(1)}(\vec{k}, \omega)$ sugere que o fator $[G^{(0)}(\vec{k}, \omega)]^2$ fatora em todos os termos de teoria de perturbação (exceto o termo de ordem zero $G^{(0)}(\vec{k}, \omega)$), pois corresponde às "pernas" externas do diagrama.



Parametrizamos esse fato definindo a auto-energia (imprópria)

$$G(\vec{k}, \omega) = G^{(0)}(\vec{k}, \omega) + [G^{(0)}(\vec{k}, \omega)]^2 \tilde{\Sigma}(\vec{k}, \omega)$$

Onde já supusemos por simplicidade que a interação independe de spin e portado, $\tilde{\Sigma}_{\alpha\beta}(\vec{k}, \omega) = \delta_{\alpha\beta} \tilde{\Sigma}(\vec{k}, \omega)$

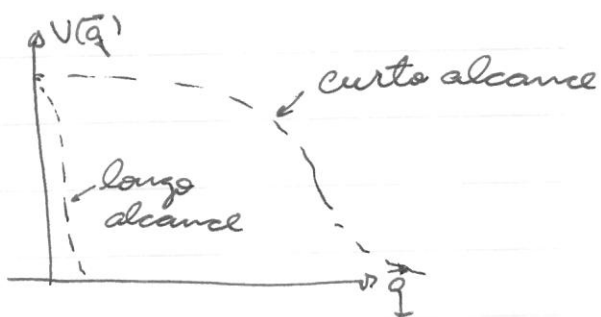
Graficamente, a definição acima corresponde a escrever:

$$-i \tilde{\Sigma}(\vec{k}, \omega) = \text{Diagrama de loop com setas para cima e para baixo}$$

Obriamente:

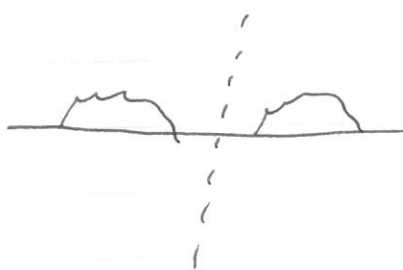
$$\tilde{\Sigma}^{(1)}(\vec{k}, \omega) = m V(\vec{0}) - \int \frac{d^3 q}{(2\pi)^3} V(\vec{k} - \vec{q}) \theta(k_F - q)$$

O primeiro termo corresponde à interação direta da partícula com o meio (em primeira aproximação) e o segundo termo é o termo de troca ("exchange"). Note que para potenciais de longo alcance o termo de exchange contribui menos que o termo direto e para ~~os~~ potenciais de curto alcance as contribuições são similares. Para ver isso, lembrar - se que:



e note que o primeiro termo envolve $V(\vec{q})$ na origem e o segundo uma média de $V(\vec{q})$ entre 0 e k_F .

Vamos agora analisar mais a fundo a estrutura da auto-energia. Por exemplo, se olhamos as contribuições de segunda ordem, os diagramas (1), (4), (6) podem ser separados em duas partes, cortando-se um propagador fermiônico:



enquanto que os outros não podem. Se chamarmos de auto-energia própria, APENAS as contribuições a Σ do segundo tipo, é óbvio que podemos reconstruir toda

a série perturbativa com diagramas da forma:

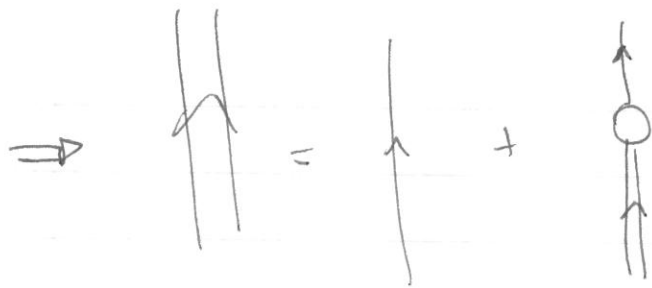
$$-i\sum \approx \text{Diagrama de loop} + \text{Diagrama de loop com 1 loop interno} + \text{Diagrama de loop com 2 loops internos} + \dots$$

onde $-i\sum = -i(\text{auto-energia própria}) = \text{Diagrama de loop}$
~~descontado~~. Em termos da função de Green temos:

$$\begin{aligned} iG \approx & \text{Diagrama de loop dupla} + \text{Diagrama de loop dupla com 1 loop interno} + \text{Diagrama de loop dupla com 2 loops internos} + \dots \\ & = \text{Diagrama de loop dupla} + \text{Diagrama de loop dupla com 1 loop interno} \end{aligned}$$

onde definimos a função de Green exata por uma linha dupla. Ora, é fácil ver que:

$$\text{Diagrama de loop dupla} = \text{Diagrama de loop dupla exata} + \text{Diagrama de loop dupla exata} \times \left[\text{Diagrama de loop dupla exata} + \text{Diagrama de loop dupla exata} + \text{Diagrama de loop dupla exata} + \dots \right]$$



que pode ser escrita como:

$$iG = iG^{(0)} + iG^{(0)}(-i\Sigma) iG$$

$$\Rightarrow G = G^{(0)} + G^{(0)} \Sigma G \quad (\text{"Equação de Dyson"})$$

Note que a expressão acima foi deduzida no espaço (\vec{k}, ω) (sistema uniforme). A equação análoga no espaço (\vec{r}, t) é:

$$G^{(s)}(x_1) = G^{(0)}(x_1) + \int d^4x_2 d^4x'_2 G^{(0)}(x_1, x_2) \Sigma(x_2, x'_2) G(x_2, x'_2)$$

A equação de Dyson é facilmente resolvida no espaço (\vec{k}, ω) , pois é uma equação algébrica:

$$G(\vec{k}, \omega) = \frac{1}{G^{(0)}(\vec{k}, \omega) - \Sigma(\vec{k}, \omega)}$$

$$\Rightarrow G(\vec{k}, \omega) = \frac{1}{\omega - \epsilon_{\vec{k}} - \Sigma(\vec{k}, \omega)}$$

Das figuras anteriores:

$$\text{O}^{(1)} = \text{---O} + \text{B}$$

$$\begin{aligned} \text{O}^{(2)} = & \text{---} \{ \text{---O} + \text{---O---O} + \text{---} \} + \text{---} \\ & + \text{---} + \text{---} \end{aligned}$$

Note como a auto-energia própria ($\Sigma^{(1)}$), quando usada à redução da equação de Dyson, gera uma **RESSONÂNCIA DE TERMOS EM TODAS AS ORDENS PARA G**:

$$\text{---} \approx \text{---} + \left[\text{---O} + \text{---} \right] + \left[\text{---O} + \text{---} \right] + \left[\text{---O} + \text{---} \right] + \dots$$

E simplifica consideravelmente nossa tarefa pois só precisamos nos concentrar em diagramas de auto-energia própria.

Uma análise similar à da auto-energia pode ser feita para as linhas de interação. Definindo-se a interação vestida ou renormalizada:

$$\text{Diagrama} = \text{parte} + \text{parte com hachurado}$$

$$-i U^R(q) = \text{Diagrama}_q$$

$$\Rightarrow U^R(q) = U(q) + [U(q)]^2 \tilde{\Pi}(q)$$

onde $i \tilde{\Pi}(q) = \text{Diagrama} = \text{inserção de polarização}$.

Se definirmos agora a polarização própria como aquela que não pode ser separada, cortando-se uma linha de interação:

$$\text{Diagrama}$$

segue que:

$$i \Pi(q) = \text{Diagrama} = \text{polarização própria}$$

$$\Rightarrow i \tilde{\Pi}(q) = \text{Diagrama} + \text{Diagrama} + \dots$$

$$\tilde{\Pi}(q) = \text{Diagrama} + \text{Diagrama} + \text{Diagrama} + \dots$$

$$\Rightarrow U^R(q) = U_0(q) + \Pi(q) U^2(q) + \Pi^2(q) U^3(q) + \dots$$

$$\boxed{U^R(q) = \frac{U(q)}{1 - \Pi(q) U(q)} = \frac{1}{U'(q) - \Pi(q)}}$$

$$\epsilon(q) = 1 - \Pi(q) U(q)$$

\Rightarrow constante dieletrica
efetiva.

- Interpretação física dos pôlos da função de Green:

Para $t > 0$:

$$iG(\vec{k}, t) = \langle \Psi_0 | c_{\vec{k}B}^{\dagger}(t) c_{\vec{k}B}^{\dagger}(0) | \Psi_0 \rangle$$

Cuja interpretação física é de que criamos uma partícula em $t=0$ no momento \vec{k} no estado fundamental e calculamos o "overlap" (amplitude) desse estado com o estado em que se cria a partícula em \vec{k} no tempo t em $|\Psi_0\rangle$

$$(\langle \Psi_0 | c_{\vec{k}B}^{\dagger}(t))^+ = c_{\vec{k}B}^{\dagger}(t) | \Psi_0 \rangle$$

Alternativamente:

$$iG(\vec{k}, t) = e^{iE_0 t} \langle \Psi_0 | c_{\vec{k}B}^- e^{-iH(t)} c_{\vec{k}}^{\dagger} | \Psi_0 \rangle$$

ou seja cria-se a excitação em $t=0$, deixa-se o sistema evoluir até t e então calcula-se o overlap com o estado inicial.

Da representação de Lehmann temos que:

$$G(\vec{k}, t) = -iV \sum_n \left| \langle \Psi_0 | c_{\vec{n}B}^{\dagger} | \Psi_0 \rangle \right|^2 e^{-i[\epsilon_{nB}(\omega_0) + \mu]t}$$

ou

$$G(\vec{k}, \omega) = V \sum_n \frac{\left| \langle \vec{n}B | c_{\vec{n}B}^{\dagger} | \Psi_0 \rangle \right|^2}{\omega - (\epsilon_{nB}(\omega_0) + \mu) + i\delta}$$

Vimos também que, se o volume é muito grande e os níveis de energia muito espaçados, podemos definir $A(\vec{k}, \epsilon)$ tal que:

$$G(\vec{k}, \omega) = \int_{-\infty}^{\infty} \frac{A(\vec{k}, \epsilon) d\epsilon}{\omega - \epsilon - i\delta}$$

$$G(\vec{k}, t) = -i \int_{-\infty}^{\infty} A(\vec{k}, \epsilon) e^{-i(\epsilon + \mu)t} d\epsilon$$

Suponhamos agora que:

$$A(\vec{k}, \epsilon) \approx \frac{\gamma_k z_k / \pi}{[\epsilon - \epsilon_k + \mu]^2 + \gamma_k^2}$$

$$\Rightarrow G(\vec{k}, \omega) = \frac{z_k}{\omega - \epsilon_k + i\gamma_k}$$

que representa um polo em $\omega = \epsilon_k - i\gamma_k$ ("pôlo complexo"). Esta situação é muito comum e corresponde ao conceito de quasi-partícula, como veremos.

Para esse caso temos que:

$$G(\vec{k}, t) \approx -i z_k e^{-i\epsilon_k t} e^{-\gamma_k t}$$

Da interpretação física de $G(\vec{k}, t)$ vemos que a excitação criada se propaga com energia ϵ_k , constante de amortecimento γ_k e amplitude z_k .

É interessante notar que a passagem ao limite contínuo gera um polo complexo a partir de polos reais ($i\delta$). A explicação é a seguinte. Existem duas energias características aqui:

$\gamma_k \Rightarrow$ largura da região de energias $E_{nk}(\omega+1)$ que contribuem significativamente para $A(\vec{k}, \epsilon)$

$\Delta E \Rightarrow E_{nk} - E_{n+k} = \text{espacamento entre os níveis.}$

Se o sistema é finito essas duas energias têm efeitos bastante distintos, que são bem conhecidos dos fenômenos de "batimentos". Numa escala de tempo

$$\tau_k \sim \frac{1}{\gamma_k}$$

as exponenciais de:

$$G(\vec{k}, t) = -iV \sum_n A_{nk} e^{-i[E_{nk} + \omega]t}$$

conecam e saí de fase e $G(\vec{k}, t)$ tem o decaimento característico. No entanto, se esperarmos um tempo suficiente, da ordem de:

$$T \sim \frac{1}{\Delta E}$$

as exponenciais voltam a entrar em fase novamente e o sistema retorna à sua configuração inicial, pois ele é periódico. Isso é análogo ao batimento.

Entretanto, quando $V \rightarrow \infty$, $\Delta E \rightarrow 0$ e o sistema nunca retorna à situação original. Ele é efetivamente apêndico, com decaimento irrecusável com escala de tempo τ_k .

Esse comportamento é o que se chama de "quasi-partícula". Note que, para que a quasi-partícula seja bem definida, devemos ter:

$$\gamma_k \ll (\epsilon_k - \mu) \quad (\text{SUB-AMORTECIMENTO})$$

Isto é o caso nos chamados líquidos de Fermi onde pode-se provar em casos particulares que a equação acima é válida.

Note também que a amplitude γ_k representa a "probabilidade" de se achar o estado de QP no estado "não-interagente" criado por C_k^+ .

Da solução da equação de Dyson:

$$G(\vec{k}, \omega) = \frac{1}{\omega - \epsilon_k - \Sigma(\vec{k}, \omega)}$$

os polos de $G(\vec{k}, \omega)$ ocorrem em $\epsilon_k + i\gamma_k$ onde: (Exercício 3).

$$\epsilon_k = \epsilon_k + \operatorname{Re} \Sigma(\vec{k}, \epsilon_k) \quad (\text{Se } \gamma_k \ll \epsilon_k)$$

$$\gamma_k = \frac{\operatorname{Im} \Sigma(\vec{k}, \epsilon_k)}{1 - \frac{\partial}{\partial \omega} \operatorname{Re} \Sigma(\vec{k}, \omega) \Big|_{\omega=\epsilon_k}}$$

Pode-se provar que $E_k \rightarrow 0$ se $k \rightarrow k_F$ para um sistema limpo homogêneo. Portanto:

$$\left. \begin{array}{l} E_k \approx V_F^{(o)}(k - k_F) \\ E_k \approx V_F(k - k_F) \end{array} \right\} \text{se } k \rightarrow k_F$$

$$\Rightarrow \frac{V_F}{V_F^{(o)}} = \left. \frac{\partial E_k}{\partial E_k} \right|_{k=k_F} = n$$

\Rightarrow (Chamando de $\Sigma'(\vec{k}, \omega) = \text{Re } \Sigma(\vec{k}, \omega)$) :

$$n = 1 + \left[\frac{\partial \Sigma'(\vec{k}, \omega=0)}{\partial E_k} + n \frac{\partial \Sigma'(\vec{k}, \omega)}{\partial \omega} \right] \Bigg|_{\omega=\epsilon_{k_F}=0}$$

$$\Rightarrow n = \frac{V_F}{V_F^{(o)}} \equiv \boxed{\frac{m}{m^*} = \frac{1 + \frac{\partial \Sigma'(\vec{k}, 0)}{\partial E_k}}{1 - \frac{\partial \Sigma'(\vec{k}, \omega)}{\partial \omega}} \Bigg|_{\omega=0}}$$

onde definimos a massa efetiva m^* tal que:

$$V_F^{(o)} = \frac{k_F}{m} \quad \text{e} \quad V_F = \frac{k_F}{m^*}$$

Equivalentemente, pode-se expandir $\Sigma(\vec{k}, \omega) = \Sigma(k, \omega)$ para $k \approx k_F$ e $\omega \approx 0$:

$$\Sigma(k, \omega) \sim \frac{\partial \Sigma' (k - k_F)}{\partial k} + \frac{\partial \Sigma' \omega}{\partial \omega} - i \Sigma'' \operatorname{sgn} \omega$$

onde: $\frac{\partial \Sigma'}{\partial k} = \left. \frac{\partial \operatorname{Re} \Sigma(\vec{k}, \omega)}{\partial k} \right|_{\substack{k=k_F \\ \omega=0}}$; $\frac{\partial \Sigma'}{\partial \omega} = \left. \frac{\partial \operatorname{Re} \Sigma(\vec{k}, \omega)}{\partial \omega} \right|_{\substack{k=k_F \\ \omega=0}}$

$$e \Sigma'' = \operatorname{Im} \Sigma(\vec{k}_F, \omega) \sim O((k - k_F)^2, \omega^2)$$

$$\Rightarrow G(\vec{k}, \omega) \approx \frac{1}{\omega - \frac{k_F}{m} (k - k_F) - \frac{\partial \Sigma'}{\partial k} (k - k_F) - \frac{\partial \Sigma'}{\partial \omega} \omega - i \Sigma'' \operatorname{sgn} \omega}$$

$$\equiv \frac{Z_k}{\omega - \frac{k_F}{m^*} (k - k_F) - i \gamma_k}$$

onde: $\frac{m}{m^*} = \frac{1 + \frac{m}{k_F} \frac{\partial \Sigma'}{\partial k}}{1 - \frac{\partial \Sigma'}{\partial \omega}}$; $Z = \frac{1}{1 - \frac{\partial \Sigma'}{\partial \omega}}$

$$\gamma_k = \frac{\Sigma''}{1 - \frac{\partial \Sigma'}{\partial \omega}}$$